

CONTRIBUTI
DELL'OSSERVATORIO ASTRONOMICO DI TORINO (Pino Torinese)
A CURA DEL
PROF. GINO CECCHINI

Nuova Serie.

N. 7

ERNESTA TEDESCHINI

CURVA DI LUCE
ED ORBITA FOTOMETRICA
DI «AK HERCULIS»

(Nota riassuntiva)

TORINO
TIPOGRAFIA VINCENZO BONA
1946

CAUT. 0008.04

CONTRIBUTI
DELL'OSSERVATORIO ASTRONOMICO DI TORINO (Pino Torinese)

A CURA DEL

PROF. GINO CECCHINI

Nuova Serie.

N. 7

ERNESTA TEDESCHINI

CURVA DI LUCE
ED ORBITA FOTOMETRICA
DI « AK HERCULIS »

(Nota riassuntiva)

TORINO
TIPOGRAFIA VINCENZO BONA

1946

ESTRATTO DAGLI
Atti della R. Accademia delle Scienze di Torino
Vol. 80 (1944-45).

Curva di luce ed orbita fotometrica di « AK Herculis ».

Nota riassuntiva di ERNESTA TEDESCHINI
presentata dal Socio nazionale Eligio PERUCCA
nell'adunanza del 16 Giugno 1945

Riassunto. — *Dalla discussione di 170 osservazioni visuali fotometriche eseguite sulla variabile ad eclisse AK Herc sono dedotti la curva di luce e gli elementi dell'orbita, e fatti confronti con risultati precedenti. È pure accennato a valori statistici delle masse, densità e tipi spettrali delle componenti.*

1. *Elementi fondamentali e stelle di confronto.* — La stella AK Herc [BD + 16°, 3130(8^m,3); $\alpha = 17^h 9^m 29^s$, $\delta = + 16^\circ 28'$, (1900.0)], è la componente più brillante di ADS 10408(8^m.0 — 12^m.0, 4''). La sua variabilità fu scoperta da Metcalf nel 1917 e confermata da Miss Leavitt e Mackie.

Tutto il materiale di osservazione fotometrica disponibile fino al 1938, rielaborato da W. Zonn, ha condotto ai seguenti elementi della curva di luce:

$$\begin{aligned} \text{Minimo princip.} &= JD\ 2425442^d.734 + 0^d.4215209\ E \\ &\pm .001 \quad \pm .0000003\ \text{e.m.} \end{aligned}$$

Data la loro attendibilità, questi elementi sono stati adottati nella elaborazione delle presenti osservazioni, eseguite all'Osservatorio Astronomico di Torino, mediante un fotometro a cuneo, allo scopo di dare un contributo alla determinazione dell'orbita fotometrica.

Le stelle utilizzate per i confronti sono indicate nella Tab. I.

TAB. I. — *Stelle di confronto.*

•	HD	1900.0		Spettro	Grandezze HD	Grandezze assunte	BD
		α	δ				
1	155526	$17^h 8^m.1$	$+16^{\circ} 31'$	Ko	$8^m.0$	$8^m.06$	$+16^{\circ}.3120$
2	155676	8 .0	$+16\ 37$	F8	8 .6	8 .52	$+16\ .3123$
3	155713	8 .2	$+16\ 20$	Go	8 .9	8 .90	$+16\ .3124$
4	—	9 .6	$+16\ 19$	—	(9 .08) da GRAFF	9 .06	$+16\ .3132$

La stella n. 2 è risultata lievemente variabile, come già era stato sospettato da Sternberk; essa perciò, da un certo punto in poi, non fu più adoperata per i confronti, sebbene gli effetti della sua variabilità sulle grandezze concluse per *AK Herc* risultassero insignificanti.

Per la costante C del cuneo fotometrico è stato adottato il valore

$$C = 0^m.120$$

concluso dallo studio delle stelle di confronto.

2. *Curva di luce di AK Herc.* — La curva di luce di *AK Herc* è stata conclusa da 170 osservazioni eseguite fra il giugno e il settembre 1943, discusse in base agli elementi assunti e al peso assegnato a ciascuna osservazione, e raccolte in 27 grandezze normali (Tab. II).

L'e. m. di ogni singola osservazione di maggior peso è stato stimato $\pm 0.^m075$.

La curva di luce ottenuta è del tipo di β Lyrae e presenta una perfetta simmetria della posizione del minimo secondario; anche i due rami della curva attorno ai minimi appaiono sostanzialmente simmetrici. È importante confrontare questa curva con quelle ottenute dagli altri osservatori. I dati principali sono perciò raccolti nella Tab. III, nella quale è indicata la lunghezza d'onda λ media a cui le osservazioni si riferiscono.

Si possono trarre le seguenti conclusioni:

a) la differenza di altezza dei massimi risulta indipendente da λ ed è, probabilmente, illusoria;

TAB. II. — *Grandezze normali.*

N.	Fase media	Grandezza media	Scarto della curva media	Peso	N.	Fase media	Grandezza media	Scarto della curva media	Peso
	<i>d</i>	<i>m</i>				<i>d</i>	<i>m</i>		
1	0.0140	8.711	-0.009	20	15	0.2017	8.640	+0.020	17
2	.0261	.656	+ .026	16	16	.2185	.585	- .025	14
3	.0362	.559	+ .009	17	17	.2413	.503	+ .003	14
4	.0517	.404	- .040	19	18	.2660	.387	+ .017	15
5	.0671	.378	+ .028	26	19	.2915	.299	- .001	14
6	.0844	.269	- .031	17	20	.3052	.292	+ .002	17
7	.0974	.288	+ .008	15	21	.3229	.282	.000	23
8	.1073	.258	- .017	15	22	.3370	.292	.000	17
9	.1119	.307	+ .032	16	23	.3548	.342	- .003	10
10	.1268	.315	+ .030	18	24	.3712	.463	.000	10
11	.1400	.302	+ .002	18	25	.3885	.645	+ .015	12
12	.1550	.347	- .003	18	26	.4061	.731	- .024	12
13	.1704	.427	- .013	17	27	.4213	.799	.000	16
14	.1809	.566	+ .011	19					

b) la profondità del minimo principale appare dipendente da λ come pure quella del minimo secondario, ammesso però di correggere di circa $+0^m.1$ la profondità dei minimi nella curva *V* di Zonn;

c) il disaccordo negli spostamenti osservati del minimo secondario indica che, molto probabilmente, tale asimmetria è dovuta agli errori di osservazione. In ogni caso, essa è da ritenere molto piccola e, in accordo con le osservazioni spettroscopiche di Sanford e con la mia curva di luce, l'orbita può essere ritenuta circolare.

3. *Correzione della curva di luce ed elementi dell'orbita fotometrica.* — Poichè la curva di luce mostra: una variazione continua — e quindi una ellissoidicità delle componenti —, una

TABELLA III.

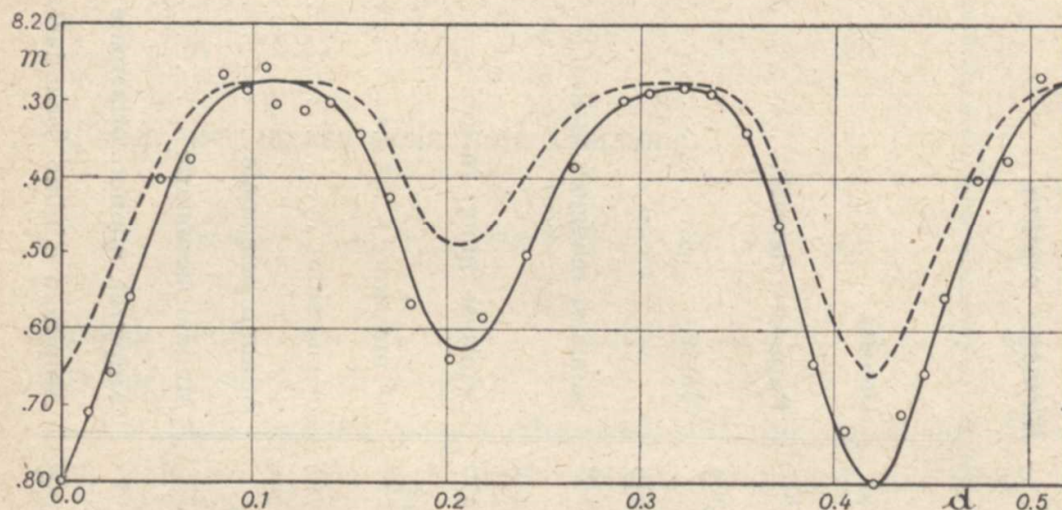
Dati ricavati dalle curve di luce dei diversi osservatori.

OSSERVATORI	Minimi osservati J. D.	O—C	1° max. meno 2° max.	1° max. meno min. princ.	1° max. meno min. sec.	Spo- stamento min. sec.	Carattere		λ
							1° max.	2° max.	
JORDAN (osserv. fotografiche)	24112 ^d .413	—0 ^d .001	—0 ^m .04	0 ^m .60	0 ^m .44	+0 ^d .014	largo	stretto	4100
ZONN (curva V, fotografica)	27980.290	0.000	— .02	.51	.27	+ .006	largo	largo	4100
WASUTYNSKI (osserv. visuali)	26141.196	— .002	+ .05	.49	.37	— .004	stretto	largo	5200
TEDESCHINI (osserv. visuali)	30939.366	— .002	— .005	.52	.35	— .000	largo	largo	5200
ZONN (curva KY, visuale)	27980.292	— .002	— .02	.43	.32	+ .004	largo	largo	6260

buona simmetria nella posizione del minimo secondario ed uguale altezza dei massimi, non risultano apprezzabili gli effetti di riflessione e del periastro. Perciò la correzione della curva si riduce all'eliminazione dell'effetto di ellissoidicità. A tale scopo mi sono servita del metodo grafico di Russell ed ho ottenuto per l'ellissoidicità il valore:

$$Z = \varepsilon^2 \sin^2 i = 0.22,$$

rettificando in base ad esso la curva di luce osservata.



Curva di luce osservata (a tratto intero) e curva di luce rettificata (tratteggiata) di AK Herculis.

Gli elementi orbitali, calcolati col metodo di Russell (ipotesi U , stelle ellissoidiche, orbite circolari), figurano nella Tab. IV. Dal mio calcolo l'eclisse risulterebbe *radente* anzichè *parziale* come è generalmente ammesso, ed i semiassi maggiori delle componenti, a_1 ed a_2 , notevolmente superiori a quelli determinati da altri. Il sistema apparirebbe quindi costituito da due stelle molto prossime e fortemente ellissoidiche.

4. *Masses, densità e tipi spettrali delle componenti.* — Per il calcolo delle masse e densità delle componenti mi sono servita delle formole statistiche di Holmberg:

$$\log (\mu_1 + \mu_2) = -1.97 \log Sp + 0.30 \log P + 1.14$$

$$\frac{\mu_1}{\mu_1 + \mu_2} = 0.47 L_1 - 0.02 Sp + 0.35$$

TABELLA IV. — *Elementi orbitali.*

Rapporto dei raggi	$K = 0.50$	Densità	$\begin{cases} \varrho_1 = 0.21 \\ \varrho_2 = 1.17 \end{cases}$
Coefficiente massimo oscuramento . .	$a_0 = 1.00$	Rapporto densità	$\varrho_1/\varrho_2 = 0.18$
Inclinazione dell'orbita	$i = 73^{\circ}.5$	Masse	$\begin{cases} \mu_1 = 0.42 \odot \\ \mu_2 = 0.28 \odot \end{cases}$
Semiassi maggiori	$\begin{cases} a_1 = 0.640 \\ a_2 = 0.320 \end{cases}$	Semiassi maggiori in km.	$\begin{cases} a_1 = 630000 \\ a_2 = 302000 \end{cases}$
Semiassi minori	$\begin{cases} b_1 = 0.558 \\ b_2 = 0.279 \end{cases}$	Semiassi minori in km.	$\begin{cases} b_1 = 526000 \\ b_2 = 263100 \end{cases}$
Differenza luminosità fra le componenti	$\Delta m = + 0^m.92$	1° massimo	$= 8^m.28$
Luminosità componenti	$\begin{cases} L_1 = 0.701 \\ L_2 = 0.299 \end{cases}$	2° massimo	$= 8^m.28$
Rapporto splend. superf.	$J_1/J_2 = 0.59$	Minimo principale	$= 8^m.80$
Eccentricità dell'orbita	$e = 0.00$	Minimo secondario	$= 8^m.62$
Semidurata eclisse	$= 0^d.095$	Ampiezza minimo principale	$= 0^m.53$
		Ampiezza minimo secondario	$= 0^m.35$

(Sp = tipo spettrale; P = periodo orbitale; μ_1, μ_2 = masse delle componenti; L_1 = luminosità della stella più brillante).

Assegnando alla stella più brillante il tipo spettrale $F8$ (secondo HD) e deducendo da questo, per la stella minore, il tipo spettrale $G3$, secondo il procedimento di Gaposchkin, ho ottenuto:

$$\mu_1 = 0.42 \quad , \quad \mu_2 = 0.28 \quad , \quad \frac{\mu_2}{\mu_1} = 0.67 ,$$

$$\varrho_1 = 0.21 \quad , \quad \varrho_2 = 1.17 \quad , \quad \frac{\varrho_1}{\varrho_2} = 0.18 ,$$

e quindi, per mezzo della nota relazione:

$$\log a = 0.624 + \frac{2}{3} \log P + \frac{1}{3} \log (\mu_1 + \mu_2) ,$$

il raggio dell'orbita relativa $a = 2.09$, in discreto accordo coi dati spettroscopici di Sanford.

Ho pure tentato il procedimento statistico proposto dal prof. Colacevich; ma i risultati ottenuti sembrano non accordarsi coi dati spettroscopici. Un confronto fra i due metodi sarà dato nella pubblicazione integrale del presente lavoro, unitamente al calcolo inerente alle grandezze assolute delle componenti.

È importante osservare che, dalle sue osservazioni spettroscopiche, Sanford conclude che al minimo principale è occultata la stella più brillante, la quale, nel nostro caso, è la maggiore. Questo fatto richiederebbe che essa fosse anche la più splendente superficialmente, il che è in contrasto col valore ottenuto da me e da tutti gli altri osservatori per il rapporto degli splendori superficiali J_1/J_2 , che risulta per tutti minore dell'unità.

Inoltre una soluzione nell'ipotesi che la stella più grande sia occultata al minimo principale è stata tentata, ma senza risultato.

Nella pubblicazione integrale della presente ricerca, eseguita sotto la guida del Prof. G. Cecchini, questa ed altre contrad-

dizioni saranno sottoposte ad un esame più accurato e sarà contemporaneamente messa in evidenza la necessità di ulteriori osservazioni per uno studio adeguato delle anomalie che — ad onta dell'apparente regolarità della curva di luce media qui ottenuta — sono state riscontrate nelle variazioni luminose di *AK Herc.*

Osservatorio Astronomico di Torino, dicembre 1944.